

# I-159 吊橋の構造理論における基礎方程式の考察

本州四国連絡橋公团 正員 林 有一郎

## 1. まえがき

オ28回年次学術講演会において、筆者は軸力を受ける構部材には軸剛性の他に横剛性を有し、その横剛性は弦および単振子の復元力剛性を表わすこと、又その剛性方程式から作られるケーブルの基礎方程式は、線形化された Melan の式になることを示した。しかしながらこの説明には一部誤りがあり、その後の検討の結果 吊橋の新しい鉛直方向結合方程式を得た。又吊橋のエネルギー法に対する新しい式を導入することができた。このエネルギー表示式は従来ケーブルに対して提案された種々の式を含むものである。これらの結果は現在吊橋の動的解析などに対して行なわれる線形化有限変形法に対して理論的根拠を与えると共に構造理論的位置づけに役立つものと想われる。

## 2. ケーブルの剛性方程式と節点の結合

図1に表わされる吊橋の形状において、簡単のためにハニカムの斜め効果を無視すると死荷重時の  $i$  節点での結合は

$$H_{bi-1} + H_{wai} = 0 \quad (1a)$$

$$V_{bi-1} + V_{wai} + W_{ci} + R_{ri} = 0 \quad (1b)$$

又変形後の結合は

$$H_{bi-1} + H_{ai} = 0 \quad (2a)$$

$$V_{bi-1} + V_{ai} + W_{ci} + R_{ri} = 0 \quad (2b)$$

となる。式(2a), (2b)を死荷重位置で Taylor 展開を行なうと

$$H_{bi-1} + dH_{bi-1} + H_{wai} + dH_{ai} + O(2) = 0 \quad (3a)$$

$$V_{bi-1} + dV_{bi-1} + V_{wai} + dV_{ai} + W_{ci} + R_{ri} + dR_{ri} + O(2) = 0 \quad (3b)$$

を得る。今次の仮定を設ける。仮定1 Taylor 展開の2次の微小項は無視する。仮定1と式(1), (3)から

$$dH_{bi-1} + dH_{ai} = 0 \quad (4a)$$

$$dV_{bi-1} + dV_{ai} + dR_{ri} = 0 \quad (4b)$$

たゞし

$$dF = k dx \quad (5)$$

$$dF = [dH_a, dV_a, dH_b, dV_b]^T, \quad dx = [dx_a, dy_a, dx_b, dy_b]^T$$

$$k = \begin{bmatrix} k_{11} & -k_{12} \\ -k_{21} & k_{22} \end{bmatrix}, \quad k_{11} = \begin{bmatrix} k_{11} & k_{12} \\ k_{21} & k_{22} \end{bmatrix}, \quad k_{11} = \frac{A_e E_e}{L_o} \cos^2 \alpha + \frac{T_w}{L} \sin^2 \alpha$$

$$k_{12} = k_{21} = \left( \frac{A_e E_e}{L_o} - \frac{T_w}{L} \right) \sin \alpha \cos \alpha, \quad k_{22} = \frac{A_e E_e}{L_o} \sin^2 \alpha + \frac{T_w}{L} \cos^2 \alpha$$

## 3. ケーブル方程式の説明

式(4a)と(5)から次式を得る。

$$dH_{bi} = \text{const.} (= dH) = -dH_{ai} = -k_{11i}(dx_{ai} - dx_{bi}) - k_{12i}(dy_{ai} - dy_{bi}) \quad (6)$$

式(6)の両辺を  $k_{11i}$  で割り、両辺を全節点について加え合せると次式を得る。

$$dH \sum_{i=1}^{n-1} \frac{1}{k_{11i}} - \sum_{i=2}^{n-1} \left( \frac{k_{12i}}{k_{11i}} - \frac{k_{12i-1}}{k_{11i-1}} \right) dy_i = 0 \quad (7)$$

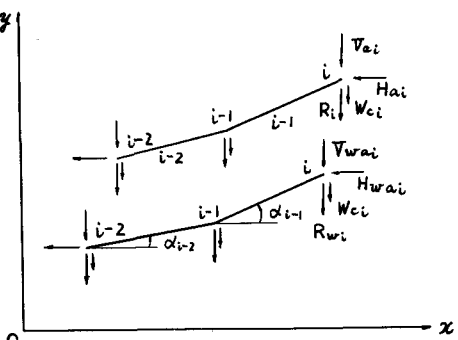


図1 ケーブルの形状

各係数を式(5)で計算し、 $\Delta x \ll L_0$  のときであることを利用し、境界条件を入れ、 $\Delta x \rightarrow 0$  とすると

$$\frac{H_p}{A_e E_0} \int_c^c \sec^2 d dx + \frac{d^2 y}{dx^2} \int_c^c \eta dx - \frac{H_w}{A_e E_0} \int_c^c \frac{d}{dx} (\tan d \sec d) dx = 0 \quad (8)$$

を得る。但し  $dH = H_p$ ,  $\eta = dy/dx$  を書き直している。

#### 4. 吊橋の鉛直方向の合式の誘導

式(6)と式(5)から次式を得る。

$$dV_{ai} = -\frac{k_{12i}}{k_{11i}} dH - \frac{k_{12i}^2 - k_{11i} k_{22i}}{k_{11i}} (dy_i - dy_{i+1}) \\ = -dH \left( \tan d_i - \frac{H_w}{A_e E_0} \tan d_i \sec^2 d_i \right) - H_w \left( \sec^2 d_i - \frac{H_w}{A_e E_0} \tan^2 d_i \sec^2 d_i \right) \frac{\Delta y_{i+1}}{\Delta x} \quad (9)$$

式(5)と式(4b)より

$$dV_{ai} - dV_{i-1} = \Delta dV_{ai} = -dR_j \quad (10)$$

式(10)に式(9)を代入し、ハニカム構造との釣合を考慮すると  $\Delta x \rightarrow 0$  の時次式が得られる。

$$E_s I_r \frac{d^2 \theta}{dx^2} - H_w \frac{d}{dx} \left\{ \left( \sec^2 d - \frac{H_w}{A_e E_0} \tan^2 d \sec^2 d \right) \frac{dy}{dx} \right\} - H_p \left\{ \frac{d^2 y}{dx^2} - \frac{H_w}{A_e E_0} \frac{d}{dx} \left( \frac{dy}{dx} \sec^2 d \right) \right\} = P \quad (11)$$

式(11)では慣度理論の慣習に合せて y 軸を下向きに正に変換している。又式(10)を変換することによって 2 ハニカム構造にはして次式も得られる。この式でも y 軸を下向きに正に変換している。

$$M = M_B - H_p \int_0^x \left( 1 - \frac{H_w}{A_e E_0} \sec^2 d \right) \frac{dy}{dx} dx - H_w \int_0^x \sec^2 d \left( 1 - \frac{H_w}{A_e E_0} \tan^2 d \sec^2 d \right) \frac{dy}{dx} dx \quad (12)$$

ここで  $M_B$  は単純荷の曲げモーメントである。

#### 5. エネルギー表示式

微小区間  $\Delta x$  に跨るエネルギーは仮想仕事の原理より

$$\Delta U = \frac{1}{2} dF^T dX = \frac{1}{2} dX^T F dX \\ = \left( \frac{A_e E_0}{\Delta x} \cos^2 d + \frac{H_w}{\Delta x} \sin^2 d \right) (\Delta \theta_i)^2 + \left( \frac{A_e E_0}{\Delta x} \cot d \sin^2 d + \frac{H_w}{\Delta x} \cos^2 d \right) (\Delta \theta_i)^2 \\ + \left( \frac{A_e E_0 \cot d}{\Delta x} - \frac{H_w}{\Delta x} \right) 2 \sin d \cos d \Delta \theta_i \Delta \theta_j \quad (13)$$

従って全エネルギーは次式となる。ここに  $\theta$  は水平変位である。

$$U = \sum \Delta U \rightarrow \int_c^c A_e E_0 \cos^2 d \left( \frac{d\theta}{dx} + \frac{dy}{dx} \frac{d^2 \theta}{dx^2} \right)^2 dx + \int_c^c H_w \cos^2 d \left( \frac{dy}{dx} \frac{d\theta}{dx} - \frac{d^2 y}{dx^2} \right)^2 dx \quad (14)$$

$H_p$  を保留してまま誘導すると次式が得られる。但し  $K_i = T_i L_i / (A_e E_0 L_0)$

$$\Delta U = \frac{1}{2} \cdot \frac{1}{A_e E_0} (1 - K_i \tan^2 d_i) \sec^2 d_i H_p^2 dx + \frac{1}{2} H_w \left( \sec^2 d_i - \frac{H_w}{A_e E_0} \frac{\tan^2 d_i}{\cos^2 d_i} \right) \frac{(\Delta \theta_i)^2}{\Delta x} \quad (15)$$

$$\therefore U \approx \frac{1}{2 A_e E_0} \int_c^c H_p^2 \sec^2 d dx + \frac{H_w}{2} \int_c^c \sec^2 d \left( \frac{dy}{dx} \right)^2 dx \quad (16)$$

但し、 $\frac{H_p}{A_e E_0} \int_c^c \sec^2 d dx + \frac{d^2 y}{dx^2} \int_c^c \eta dx = 0$  ( $H_p = \text{const.}$  の場合) (17)

#### 6. 考察

式(8)は Selberg の誘導した式の 3 項まで一致している。式(11)で  $H_w/A_e E_0$  に関する項を無視すると

$$E_s I_r \frac{d^2 \theta}{dx^2} - H_w \frac{d}{dx} \left( \sec^2 d \cdot \frac{dy}{dx} \right) - H_p \frac{d^2 y}{dx^2} = P \quad (18)$$

が得られ、この式は線形化された Rode の式となる。更に仮定  $\sec^2 d \approx 1$  を採用すると線形化された melan の式が導かれる。式(18)は  $H_p$  が定数ではない場合も包含する。式(18)で  $H_p = \text{const.}$  とすれば式(17)が得られる。

$$U = \frac{1}{2} \left[ \frac{A_e E_0}{L_E} \left( \frac{dy}{dx} \right)^2 \left\{ \int_c^c \eta dx \right\}^2 + H_w \int_c^c \sec^2 d \left( \frac{dy}{dx} \right)^2 dx \right], \quad L_E = \int_c^c \sec^2 d dx \quad (19)$$

となる。なお横方向に対する釣合式も式(5)より誘導できるが省略する。

#### 7. 参考文献

- (1) 林有一郎, 保田雅彦, “吊橋の振動解析”, 土木学会第28回年次学術講演会概要集